

Л.Г. Ільченко, В.В. Лобанов, О.О. Чуйко

## Формування потенціального бар'єру між двома близько розділеними металами з субмоношаровим адсорбційним покриттям

*Інститут хімії поверхні НАН України, вул.Генерала Наумова 17, Київ, 03164, Україна  
E-mail: [vai@rpd.univ.kiev.ua](mailto:vai@rpd.univ.kiev.ua), тел. (044) 424 94 72*

В даній роботі в межах нелокальної електростатики теоретично розраховано зарядову  $\Delta V_{\sigma}(x)$  та структурну компоненти  $\Delta V_{st}(\vec{r})$  повного потенціалу взаємодії між близько розділеними вакуумним проміжком металами. Структурний потенціал  $\Delta V_{st}(\vec{r})$  обумовлений мікроскопічною (атомною) структурою поверхонь металів з впорядкованим субмоношаровим адсорбційним покриттям.

Показано, що для малих розділяючих відстаней  $L \sim 0,3 - 2 \text{ нм}$  врахування структурної компоненти  $\Delta V_{st}(\vec{r})$  сумарного потенціалу зумовлює латеральну зміну висоти потенціального бар'єру у всьому розділяючому вакуумному проміжку

**Ключові слова:** нелокальна електростатика, структурний потенціал, потенціальний бар'єр, субмоношарове адсорбційне покриття, впорядковані ґратки.

*Стаття поступила до редакції 11.05.2005; прийнята до друку 30.05.2005.*

### Вступ

Для розуміння природи взаємодії між двома металами, напівпровідниками чи діелектриками в зовнішньому середовищі необхідне детальне визначення розподілу потенціалу в розділяючому проміжку, який би враховував різницю в об'ємних властивостях взаємодіючих твердотільних частинок і зовнішнього середовища (потенціал сил зображення), зарядовий стан кожної з двох поверхонь, а також мікроскопічну структуру поверхневих шарів.

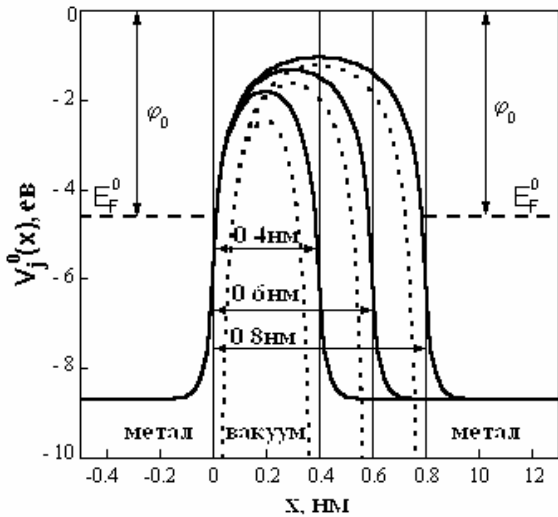
Потенціальний бар'єр між двома близько розділеними металами (напівпровідниками чи діелектриками) в повітрі (вакуумі) визначається розподілом потенціалу сил зображення  $V_j^0(x)$  ( $j = 1, 2, 3$ ) для системи метал - вакуумний проміжок - метал (МВМ) [1], а його подальша зміна обумовлена коректним врахуванням зарядового стану поверхонь, мікроскопічною структурою, наявністю адсорбційних покриттів та зовнішніх електричних полів [2-6].

Проведені в межах нелокальної електростатики згідно роботи [1] розрахунки розподілу потенціалу сил зображення  $V_j^0(x)$  в симетричній системі МВМ з товщинами вакуумної щілини  $L = 0,4 \text{ нм}$ ,  $L = 0,6 \text{ нм}$  та  $L = 0,8 \text{ нм}$  між двома ідентичними металами

приведено на рис.1 суцільними кривими. Ефекти просторової дисперсії в функціях діелектричної проникності металів  $\epsilon_1(\vec{k}) = \epsilon_3(\vec{k}) = \epsilon_0(\vec{k})$  були враховані в моделі Томаса-Фермі [1] з використанням наступних параметрів: робота виходу металів  $\phi_0 = 4,6 \text{ еВ}$ , концентрація  $n_0 = 3 \cdot 10^{22} \text{ см}^{-3}$  та ефективна маса  $m = 0,7369m_0$  електронів провідності в металах, де  $m_0$  – маса вільного електрона. Відповідні штрихові криві на рис.1 показують розподіл потенціалу сил зображення у випадку класичних металів.

З наведеного малюнку бачимо, що потенціал сил зображення  $V_2^0(x) = V_0(x)$  між двома металами, які розділені малим вакуумним проміжком  $L \sim 0,3 - 2 \text{ нм}$ , розрахований в рамках нелокальної електростатики, є неперервним на межах розподілу і має форму потенціального бар'єру, висота якого збільшується зі збільшенням розділяючої відстані  $L$  [1].

Наявність густини заряду  $\sigma_1$  на першій та  $\sigma_2$  на другій поверхнях металів буде суттєво змінювати форму потенціального бар'єру для всіх розділяючих їх відстаней  $L$ .



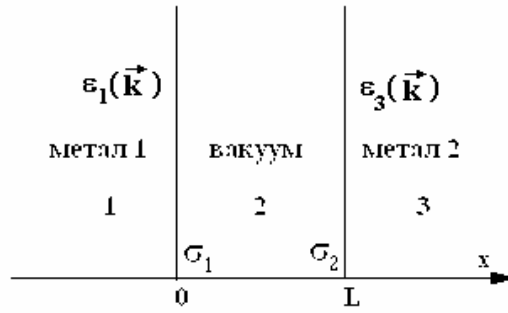
**Рис. 1.** Потенціал сил зображення  $V_j^0(x)$  для симетричної системи двох однакових металів при  $\varphi_0 = 4,6 \text{ eV}$ ,  $n_0 = 3 \cdot 10^{22} \text{ cm}^{-3}$  та  $m = 0,7369 m_0$ , порахований для різних товщин  $L = 0,4 \text{ nm}$ ,  $L = 0,6 \text{ nm}$  та  $L = 0,8 \text{ nm}$  вакуумного проміжку. Відповідними штриховими кривими показано розподіл потенціалу сил зображення  $V_2^0(x)$  в вакуумній щілині у випадку класичних металів.

## I. Теорія

Визначимо розподіл сумарного потенціального бар'єру  $V(\vec{r})$ , що сформований між двома близько розташованими металами з впорядкованими ґратками субмоношарових адсорбційних покриттів поверхонь металів, використовуючи метод функцій Гріна нелокального рівняння Пуассона з врахуванням ефектів просторової дисперсії в функціях діелектричної проникності металів [1,3-7].

Розглянемо проблему взаємодії точкового заряду  $e$ , що знаходиться в вакуумному проміжку  $0 \leq x \leq L$ , з двома напівобмеженими металами з діелектричною функцією  $\epsilon_1(\vec{k})$  та з поверхневою густиною заряду  $\sigma_1(y,z)$  на першому металі в області  $x \leq 0$  та з діелектричною функцією  $\epsilon_3(\vec{k})$  та  $\sigma_2(y,z)$  на другому в області  $x \geq L$ . Досліджувана трьохшарувата структура приведена на рис.2.

Вирішення цієї задачі може бути знайдено в рамках нелокальної електростатики. Врахуємо зарядовий стан та мікроскопічну структуру металевих поверхонь, вважаючи, що поверхнева густина заряду  $\sigma_1$  на першій ( $x \leq 0$ ) та  $\sigma_2$  на другій ( $x \geq L$ ) поверхнях металів сформована впорядкованими ґратками адсорбованих іонів (для спрощення розрахунків в даній роботі ми розглядаємо квадратні ґратки) з двовимірною концентрацією  $N_1 = a_1^{-2}$ , стороною ґратки  $a_1$  та



**Рис. 2.** Трьохшарувата структура, що складається з двох напівобмежених середовищ з діелектричною функцією  $\epsilon_1(\vec{k})$  в області  $x \leq 0$  з густиною заряду  $\sigma_1$  на першій поверхні ( $x = 0$ ) та діелектричною функцією  $\epsilon_3(\vec{k})$  в області  $x \geq L$  з густиною заряду  $\sigma_2$  на другій поверхні ( $x = L$ ), які розділені вакуумним проміжком  $0 \leq x \leq L$ .

ефективним зарядом  $e_i^*$  на поверхневих атомах  $i$ -го типу на першій ( $k=1$ ) та з двовимірною концентрацією  $N_n = b_n^{-2}$ , стороною ґратки  $b_n$  та ефективним зарядом  $e_n^*$  на поверхневих атомах  $n$ -го типу на другій ( $k=2$ ) поверхнях металів. Фур'є-компонента густини заряду на впорядкованих поверхневих ґратках першої  $\sigma_1(q)$  та другої  $\sigma_2(q)$  поверхонь може бути представлена в наступному вигляді [3-6]

$$\sigma_1(q) = \sum_{i=1}^{v_1} \sigma_i(q) = (2\pi)^2 \sum_{i=1}^{v_1} e_i^* N_i [\delta(q_y) \delta(q_z) + \delta\left(q_y - \frac{2\pi}{a_i}\right) \delta\left(q_z - \frac{2\pi}{a_i}\right)] \quad (1)$$

$$\sigma_2(q) = \sum_{n=1}^{v_2} \sigma_n(q) = (2\pi)^2 \sum_{n=1}^{v_2} e_n^* N_n [\delta(q_y) \delta(q_z) + \delta\left(q_y - \frac{2\pi}{b_n}\right) \delta\left(q_z - \frac{2\pi}{b_n}\right)] \quad (2)$$

де  $v_1$  та  $v_2$  – кількість типів атомних ґраток на кожній з двох поверхонь, а перший член в (1) і (2) відповідає однорідній (не модульованій) густині заряду на першій та другій поверхнях відповідно.

Розрахуємо структурну  $\Delta V_{st}(\vec{r})$  та зарядову  $\Delta V_{\sigma}(\vec{r})$  компоненти повного потенціалу

$$V(\vec{r}) = V_0(x) + \Delta V_{\sigma}(\vec{r}) + \Delta V_{st}(\vec{r}) \quad (3)$$

в рамках нелокальної електростатики, оскільки тільки неперервність потенціалу сил зображення  $V_0(x)$  на межах розподілу середовищ дозволяє коректне введення як густини заряду  $\sigma_{1,2}$  [3-5] так і зовнішніх полів [5,6,8,9].

$\Delta V(\vec{r})$  в вакуумному зазорі  $0 \leq x \leq L$  між двома неідентичними металами  $\epsilon_1(\vec{k}) \neq \epsilon_3(\vec{k})$  визначається наступними рівняннями

$$\Delta V(\vec{r}) = \Delta V_{\sigma}(x) + \Delta V_{st}(x); \quad (4)$$

$$\Delta V_{\sigma}(x) = \frac{4\pi e}{\kappa_1 + \kappa_3 + L\kappa_1\kappa_3} \times \left\{ \left[ 1 + (L-x) \cdot \kappa_3 \right] \sum_{i=1}^{v_1} e_i^* N_i + \left[ 1 + x \cdot \kappa_1 \right] \cdot \sum_{n=1}^{v_2} e_n^* N_n \right\}. \quad (5)$$

Для визначення структурної компоненти  $\Delta V_{st}(\vec{r})$  в даній роботі обмежимося врахуванням одного типу поверхневих зарядів на обох металевих поверхнях, які утворюють квадратну ґратку адсорбованого субмоношарового покриття  $v_1 = v_2 = 1$ . В цьому випадку, та в межах наближення Томаса-Фермі для діелектричних функцій двох неідентичних металів, для структурного потенціалу  $\Delta V_{st}(\vec{r})$  отримуємо наступне рівняння

$$\Delta V_{st}(\vec{r}) = -4\pi e \times \left\{ \frac{e_1^* N_1 \cdot [\alpha_3 \cdot \text{sh}[(L-x) \cdot \alpha_1] + \alpha_1 \cdot \text{ch}[(L-x) \cdot \alpha_1]]}{[(\alpha_2 \alpha_3 + \alpha_1^2) \cdot \text{sh}(L \cdot \alpha_1) + \alpha_1 (\alpha_2 + \alpha_3) \cdot \text{ch}(L \cdot \alpha_1)]} \times \cos\left(\frac{2\pi}{a_1} y\right) \cdot \cos\left(\frac{2\pi}{a_1} z\right) + \frac{e_2^* N_2 \cdot [\beta_3 \cdot \text{sh}[(L-x) \cdot \beta_1] + \beta_1 \cdot \text{ch}[(L-x) \cdot \beta_1]]}{[(\beta_2 \beta_3 + \beta_1^2) \cdot \text{sh}(L \cdot \beta_1) + \beta_1 (\beta_2 + \beta_3) \cdot \text{ch}(L \cdot \beta_1)]} \right\} \times \cos\left(\frac{2\pi}{b_1} y\right) \cdot \cos\left(\frac{2\pi}{b_1} z\right) \quad (6)$$

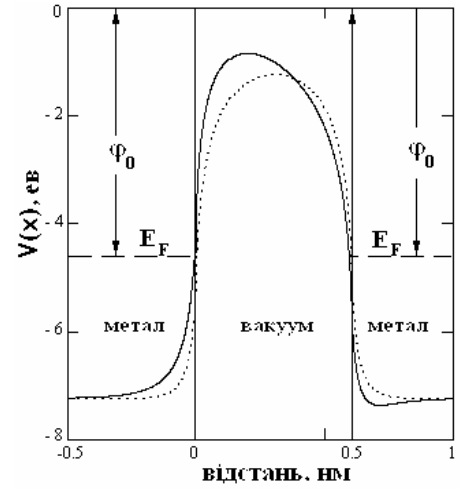
де  $\kappa_{1,3}^2 = \frac{6\pi e^2 n_{1,3}}{E_F^{1,3}}$  – радіуси екранування Томаса-Фермі,  $n_{1,3}$  – концентрація електронів в металах,  $E_F^{1,3} = \frac{\hbar^2 (3\pi^2 n_{1,3})^{2/3}}{2m_{1,3}}$  і  $m_{1,3}$  ефективна маса вільних електронів металів та у випадку квадратних ґраток поверхневих атомних структур  $\alpha_1 = \frac{2\pi}{a_1} \sqrt{2}$ ;

$$\alpha_2 = \sqrt{2 \left( \frac{2\pi}{a_1} \right)^2 + \kappa_1^2}; \quad \alpha_3 = \sqrt{2 \left( \frac{2\pi}{a_1} \right)^2 + \kappa_3^2},$$

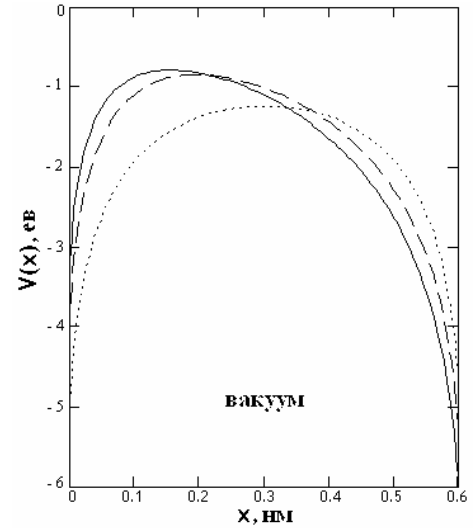
$$\beta_1 = \frac{2\pi}{b_1} \sqrt{2}; \quad \beta_2 = \sqrt{2 \left( \frac{2\pi}{b_1} \right)^2 + \kappa_1^2}; \quad \beta_3 = \sqrt{2 \left( \frac{2\pi}{b_1} \right)^2 + \kappa_3^2}.$$

## II. Результати

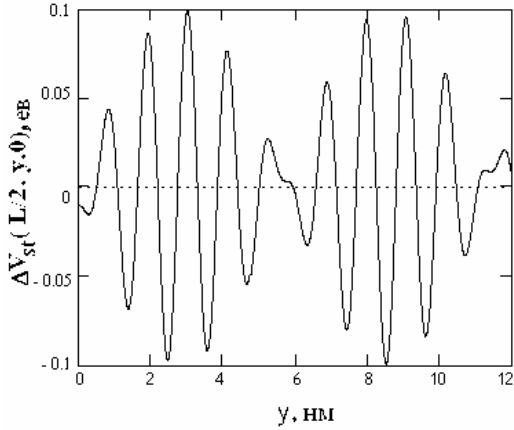
На рис. 3 показано зміну розподілу потенціалу  $V(x) = V_0(x) + \Delta V_{\sigma}(x)$  в системі МВМ з врахуванням однорідної густини заряду  $\sigma_1 = -8 \cdot 10^{13} \text{ e/cm}^2$  на першій та  $\sigma_2 = 5.44 \cdot 10^{13} \text{ e/cm}^2$  на другій поверхнях двох близько розділених вакуумним проміжком  $L = 0,6 \text{ нм}$  ідентичних металів при  $\phi_1 = \phi_2 = 4,6 \text{ eV}$ ,



**Рис. 3.** Формування потенціального бар'єру між двома ідентичними металами з поверхневою густиною заряду  $\sigma_1 = -8 \cdot 10^{13} \text{ e/cm}^2$  на першій та  $\sigma_2 = 5,44 \cdot 10^{13} \text{ e/cm}^2$  на другій поверхні при  $\phi_1 = \phi_3 \equiv \phi_0 = 4,6 \text{ eV}$ ,  $n_{1,3} = 10^{22} \text{ cm}^{-3}$  та  $m_1 = m_3 = 0,6374$ , розділених вакуумною щільною товщиною  $L = 0,6 \text{ нм}$  (суцільна крива). Точкова крива – потенціал сил зображення  $V_0(x)$  в МВМ системі.



**Рис. 4.** Формування потенціального бар'єру всередині вакуумної щільності товщиною  $L = 0,6 \text{ нм}$  між двома ідентичними металами при  $\phi_1 = \phi_3 \equiv \phi_0 = 4,6 \text{ eV}$ ,  $n_{1,3} = 10^{22} \text{ cm}^{-3}$  та  $m_1 = m_3 = 0,6374$  з врахуванням зарядового потенціалу  $\Delta V_{\sigma}(x)$  (штрихова крива) та структурного потенціалу  $\Delta V_{st}(x, 0, 0)$  (суцільна крива) з густиною заряду  $\sigma_1 = -8 \cdot 10^{13} \text{ e/cm}^2$  та  $e_1^* = -0,8$ ,  $N_1 = 10^{14} \text{ cm}^{-2}$  на першій і  $\sigma_2 = 5,44 \cdot 10^{13} \text{ e/cm}^2$  та  $e_2^* = 0,8$ ,  $N_2 = 6,8 \cdot 10^{13} \text{ cm}^{-2}$  на другій поверхні металу з впорядкованими ґратками адсорбованих моношарів. Точкова крива – потенціал сил зображення  $V_0(x)$ .

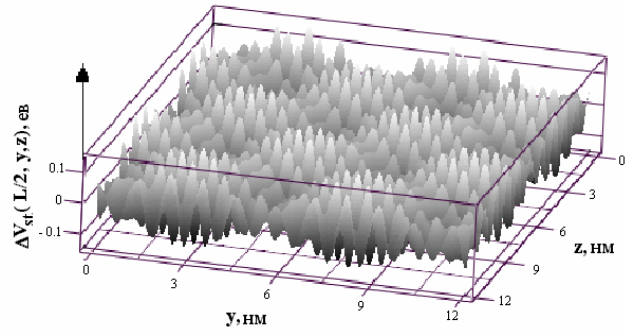


**Рис. 5.** Латеральний розподіл структурного потенціалу  $\Delta V_{st}(L/2, y, 0)$  (в еВ) в центрі вакуумного проміжку  $x = L/2$  між двома ідентичними металами з параметрами  $\varphi_1 = \varphi_3 \equiv \varphi_0 = 4,6$  еВ,  $n_{1,3} = 10^{22} \text{ cm}^{-3}$  та  $m_1 = m_3 = 0,6374$  та наступних параметрах поверхонь металів з густиною заряду  $\sigma_1 = -8 \cdot 10^{13} \text{ e/cm}^2$  та  $e_1^* = -0,8$ ,  $N_1 = 10^{14} \text{ cm}^{-2}$  на першій і  $\sigma_2 = 5,44 \cdot 10^{13} \text{ e/cm}^2$  та  $e_2^* = 0,8$ ,  $N_2 = 6,8 \cdot 10^{13} \text{ cm}^{-2}$  на другій поверхні металу з впорядкованими ґратками адсорбованих моношарів.

$n_{1,3} = 10^{22} \text{ cm}^{-3}$  та  $m_1 = m_3 = 0,6374$ . Точковою кривою показано розподіл потенціалу сил зображення  $V_j^0(x)$  в даній системі.

Як бачимо з наведеного малюнку наявність однорідної густини заряду на поверхнях металів суттєво впливає на розподіл потенціалу у всій МВМ системі.

Вклад структурного потенціалу  $\Delta V_{st}(x, 0, 0)$  (6) в формування повного потенціального бар'єру  $V(x, 0, 0)$  (3) в вакуумній щілині при  $L = 6 \text{ \AA}$  з густиною заряду  $\sigma_1 = -8 \cdot 10^{13} \text{ e/cm}^2$  та  $e_1^* = -0,8$ ,  $N_1 = 10^{14} \text{ cm}^{-2}$  на першій і  $\sigma_2 = 5,44 \cdot 10^{13} \text{ e/cm}^2$  та  $e_2^* = 0,8$ ,  $N_2 = 6,8 \cdot 10^{13} \text{ cm}^{-2}$  на другій поверхнях двох близько розділених вакуумним проміжком  $L = 0,6 \text{ нм}$  ідентичних металів при  $\varphi_1 = \varphi_2 = 4,6 \text{ eВ}$ ,  $n_{1,3} = 10^{22} \text{ cm}^{-3}$  та  $m_1 = m_3 = 0,6374$  приведено на рис. 4. Тут розподіл повного потенціалу  $V(x, 0, 0) = V(x)$  показано суцільною кривою, розподіл потенціалу з однорідною (не модульованою) густиною заряду показано штриховою кривою та розподіл потенціалу сил



**Рис. 6.** Латеральний 3-D розподіл структурного потенціалу  $\Delta V_{st}(L/2, y, z)$  (в еВ) в центрі вакуумного проміжку  $x = L/2$  між двома ідентичними металами з параметрами відповідно до рис. 5.

зображення - точковою кривою.

З наведеного малюнку бачимо, що для малих розділяючих два метали відстанях врахування структурної компоненти потенціалу  $\Delta V_{st}(\vec{r})$  може досить суттєво впливати на зміну потенціального бар'єру у всьому вакуумному проміжку.

Визначимо латеральний розподіл структурного потенціалу  $\Delta V_{st}(\vec{r})$  в вакуумній щілині системи МВМ при тих же параметрах, що і на рис. 3 та рис. 4. Відповідні розрахунки структурного потенціалу  $\Delta V_{st}(\vec{r})$  в центрі вакуумного зазору  $x = L/2$ , проведені згідно рівняння (6), приведені на наступних малюнках: рис. 5 та рис. 6.

З приведених малюнків видно, що суттєве збільшення (зменшення) висоти потенціального бар'єру в вакуумній щілині відбувається на відстанях, які значно перевищують параметри поверхневих ґраток адсорбованих атомів. При заданих параметрах це складає  $u_{\min}, z_{\min} \sim 5-6 \text{ нм}$ , що продемонстровано на рис. 5 та рис. 6.

## Висновки

Як бачимо з приведених малюнків врахування мікроскопічної структури металевих поверхонь, обумовлене наявністю адсорбційних

субмоношарових покриттів, призводить до суттєвої зміни висоти потенціального бар'єру між металами у всій вакуумній щілині і має осциляторний характер. Суперпозиція модульованої частини потенціалу  $\Delta V_{st}(\vec{r})$  від обох поверхонь не тільки змінює форму потенціального бар'єру  $V(\vec{r})$  (рис.4), але й сприяє виникненню областей суттєвого підвищення (або пониження потенціалу) (рис. 5 та рис. 6), що може спричинити виникнення як пріоритетних точок взаємодії між адсорбованими атомами на поверхні металів, так і зумовити виникнення надграток

мінімальної висоти потенціального бар'єру, тобто виникнення надграток емісійних центрів, присутність яких стимульована наявністю на малій відстані  $L \sim 0,3-2$  нм поверхні іншого металу з відмінною мікроскопічною структурою адсорбційного субмоношарового покриття.

**Ільченко Л.Г.** – канд. фіз.-мат. наук, с.н.с.;  
**Лобанов В.В.** – доктор хім. наук, пров.н.с;  
**Чуйко О.О.** – доктор хім. наук, проф., академік.

- [1] L.G. Il'chenko and T.V. Goraychuk Role of the image forces potential in the formation of the potential barrier between closely spaced metals // *Surf. Sci.*, **478**, pp. 169-179 (2001).
- [2] В.В. Лобанов, Ю.И. Горлов, А.А. Чуйко, В.М. Пинчук, Ю.С. Синекон, Ю.И. Якименко *Роль электростатических взаимодействий в адсорбции на поверхности твердых оксидов*. ВЕК +, К. 240с. (1999).
- [3] Л.Г. Ильченко, Л.Г. Гречко, А.А. Савон. Пространственное распределение электростатического потенциала вблизи поверхности диэлектрика с модулированным поверхностным зарядом. I. Атомарно-чистая поверхность диэлектрика // *Укр.фіз.журн.* **38**,(3), сс.415-420 (1993).
- [4] Л.Г. Ильченко, А.А. Савон Электростатический потенциальный рельеф поверхности диэлектриков с дискретным распределением заряда // *Препринт ИТФ - 92-27Р*, К. 31с (1992).
- [5] L.G. Il'chenko, V.V. Il'chenko, T.V. Goraychuk and I.W. Rangelow. Microscopic structure of the semiconductor surface in the external electric field // *Chemistry, physics and technology of surfaces*. - N 4-6, pp. 186-195 (2001).
- [6] L.G. Il'chenko. Role of Microscopic Structure of the Surface in Field Emission from Semiconductors. *12th International Vacuum Microelectronics Conference 6th-9th July 1999. Darmstadt, Germany, Technical Digest*, pp.84-85 (1999).
- [7] L.G. Il'chenko, T.V. Goraychuk. Image potential between closely separated quantum size film and metal.// *Ultramicroscopy*. **95**, pp.67-73 (2003).
- [8] L.G. Il'chenko, V.V. Il'chenko. Theoretical Calculation of the Tunnel Characteristics Superthin Microscopic Structure Films on the Metal Substrate. *12th International Vacuum Microelectronics Conference 6th-9th July 1999. Darmstadt, Germany, Technical Digest*, pp.104-105 (1999).
- [9] L.G. Il'chenko, V.V. Il'chenko, T.V. Goraychuk. Role of the electronic structure of metals in the formation of the potential barrier between closely spaced metals. *47th International Field Emission Symposium Berlin, Germany p.EO12* (2001).

L.G. Il'chenko, V.V. Lobanov, A.A. Chuiko

## The Potential Barrier Formation between Two Close Separated Metals with the Adsorbed Submonolayers Coatings

*Institute of Surface Chemistry NAS of Ukraine, Generala Naumova Street 17, Kiev 03164 e-mail: [vai@rpd.univ.kiev.ua](mailto:vai@rpd.univ.kiev.ua)*

In this article in the framework of nonlocal electrostatics the charged  $\Delta V_{\sigma}(x)$  and the structured  $\Delta V_{st}(\vec{r})$  component of the full potential in the vacuum gap between two close spaced metals is calculated theoretically. The structured potential  $\Delta V_{st}(\vec{r})$  is determined by the microscopic (atomic) structures of the metal surfaces with the submonolayers of the adsorbed coatings.

It was shown that for the small vacuum intervals  $L \sim 0,3-2$  nm the accounting of the structure component  $\Delta V_{st}(\vec{r})$  of the full potential determines the lateral change of the potential barrier height in the all vacuum interval.